

Фазовые переходы в микроструктурах с комплексной сетевой архитектурой

Алоджанц А.П.

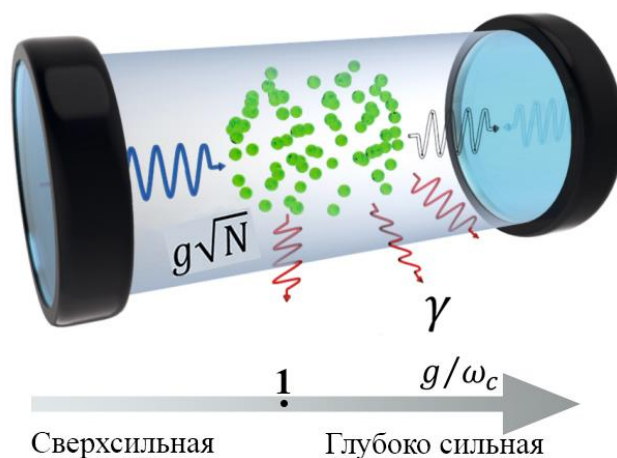
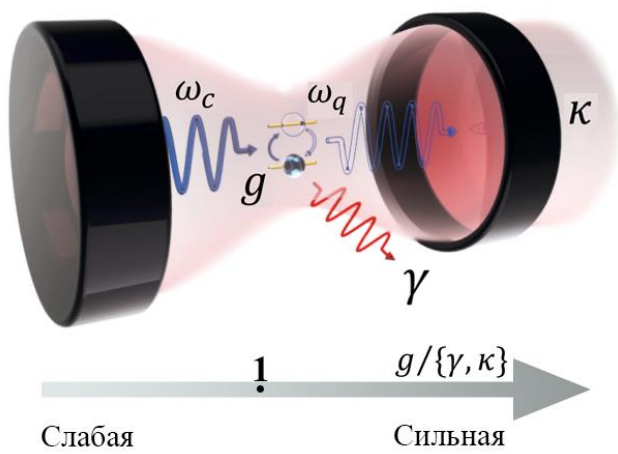
Баженов А.Ю., Никитина М.М.

- *Институт перспективных систем передачи данных;*
- *Национальный центр когнитивных разработок*

Заседание Научного совета РАН "Квантовые технологии" по теме "Квантовые материалы – 1"

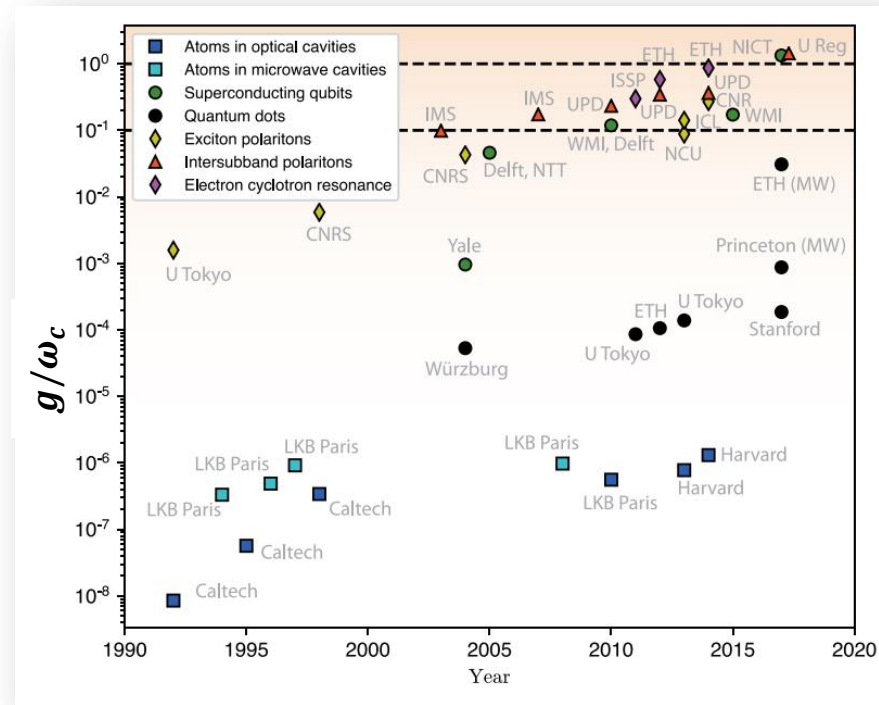
Москва, 2022

Организация ультросильного взаимодействия двухуровневых квантовых система (ДКС) с полем



ω_c — частота резонатора;
 ω_q — резонансная частота ДКС;
 g — константа связи поля — материи;
 $\gamma; \kappa$ — потери частиц и фотонов;

Frisk Kockum A. et al. Nat. Rev.Phys. 1. №. 1. p. 19 (2019)



Forn-Díaz P. et al. Rev.Mod. Phys. , 91, 025005 (2019).

Как усилить масштабирование за пределом $g\sqrt{N}$?

Можно ли наблюдать эти эффекты при высоких (комнатных) температурах?

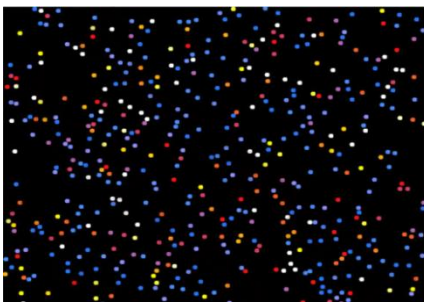
Можно ли добиться $g \lesssim \omega_c$ в оптическом диапазоне частот

Как можно использовать усиление взаимодействия вещества и поля для лазерной генерации и сверхизлучения?

Для этого нужно использовать определенную топологию расположения и взаимодействия ДКС и поля

Что мы используем для квантовой обработки информации?

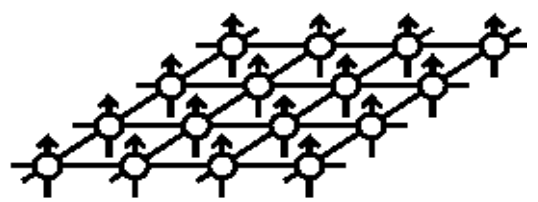
Газ частиц, БЭК



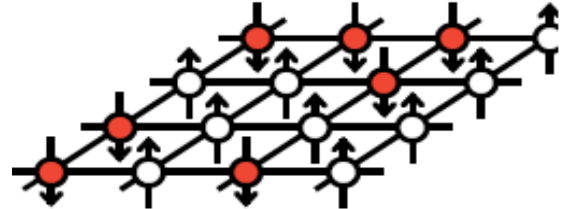
Слабо взаимодействующая система

Решетки в твердом теле

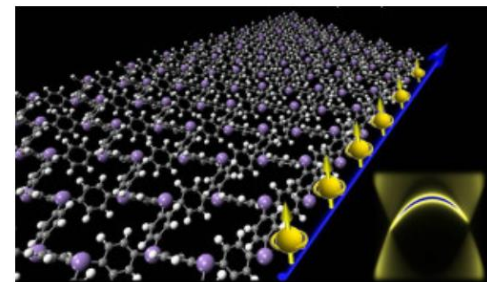
Сильно взаимодействующие системы



Упорядоченные состояния

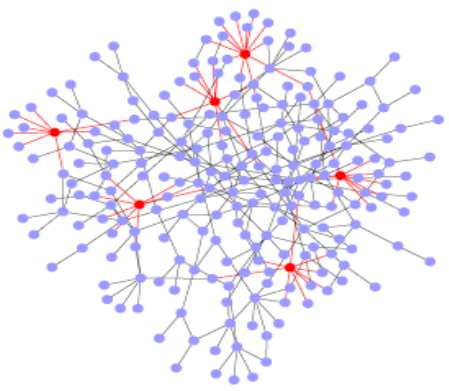


Разупорядоченные состояния



Топологические состояния

Сложные сети (графы) – как квантовые материалы



Основные преимущества

- Естественна среда для hardware и software;
- Естественная среда для обмена информации;
- Устойчивая среда при «поломке» связей;
- Сильновзаимодействующая среда в природе.

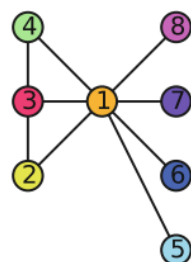
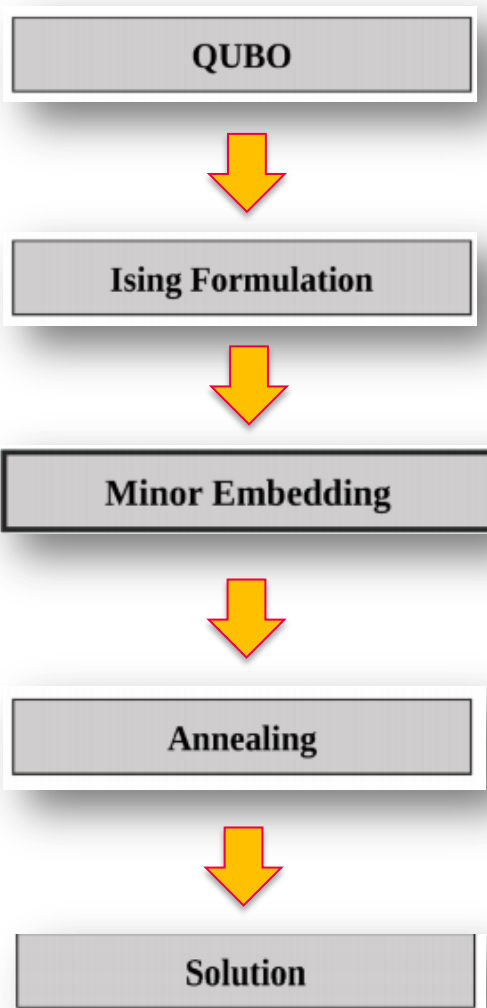
Алгоритм решения квадратичной двоичной неограниченной оптимизации (QUBO)

Квантовый отжиг D-Wave 2000Q

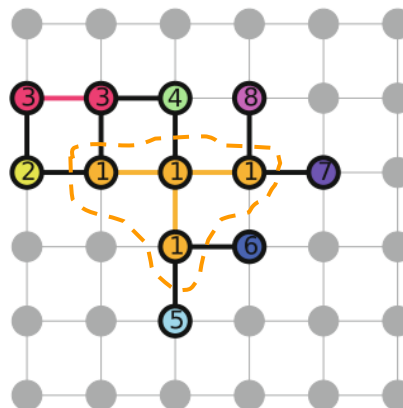
Гамильтониан модели Изинга с поперечным полем

$$\mathcal{H}(t) = \underbrace{\sum_{i \in V(G)} h_i(t) \sigma_i^z + \sum_{ij \in E(G)} J_{ij}(t) \sigma_i^z \sigma_j^z}_{\text{Конечный гамильтониан}} + \underbrace{\sum_{i \in V(G)} \Delta_i(t) \sigma_i^x}_{\text{Начальный гамильтониан}}$$

Конечный гамильтониан Начальный гамильтониан



G
Граф с логическим кубитом 1



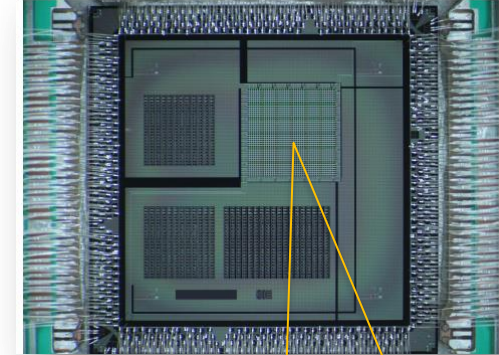
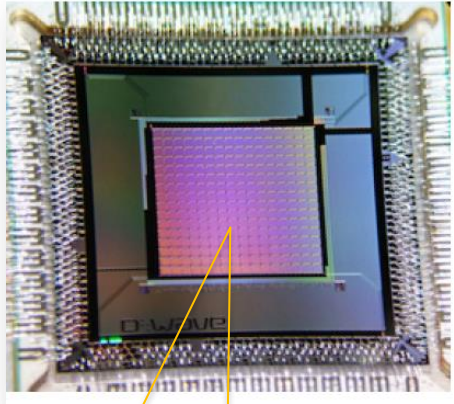
G_{emb}
Физическая решетка с кубитами

✓ Для решения задач со спиновыми стеклами различных топологий с помощью одного процессора должна быть предусмотрена возможность отображения или встраивания графика задач в доступный аппаратный граф. Этот процесс включает в себя аппаратный граф (содержащий физические кубиты, (ферромагнитно) сильно связанные друг с другом) для представления одного узла в графе задач (логический кубит).

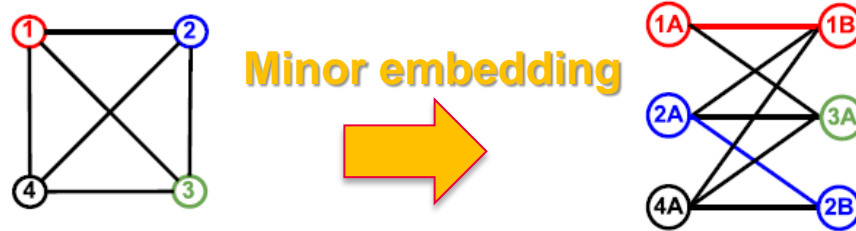
✓ На языке теории графов мы хотим, чтобы аппаратный граф имел наибольшее возможное разнообразие графиков задач в качестве миноров

Chimera (graph) C16 D-Wave 2000Q

Pegasus (graph) P6 – 680 Qubit Prototype

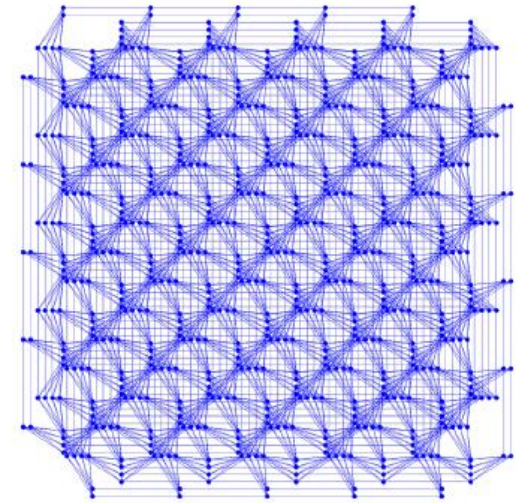
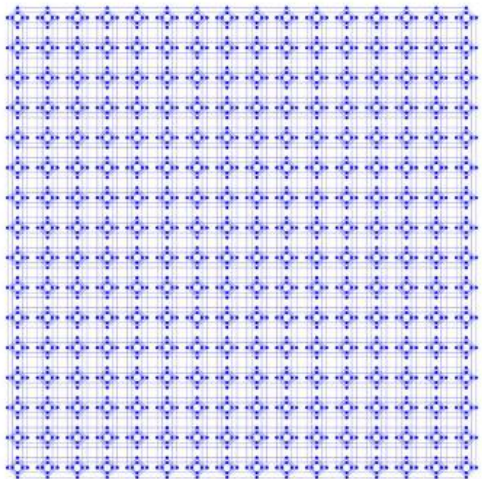


Device Count	C16	P6	P12	P16
Qubits	2048	680	3080	5640
Couplers	6000	4784	21764	40484
max degree	6	15	15	15

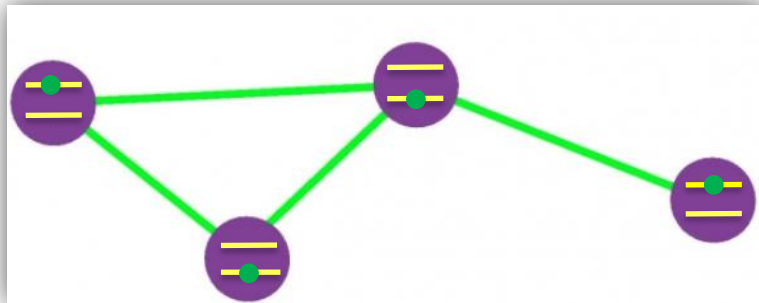
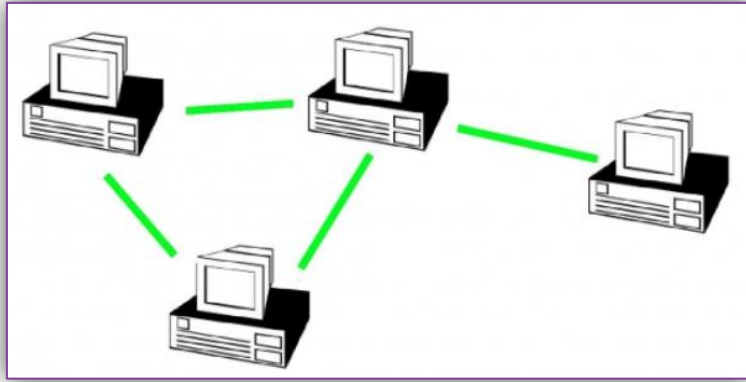


- ✓ Определяем граф с произвольной связностью между логическими переменными, которые непосредственно кодируют моделируемый набор данных.
- ✓ Встраиваем граф в квантовое оборудование, используя метод Minor embedding; это требует введения вспомогательных кубитов, полей и т.д.

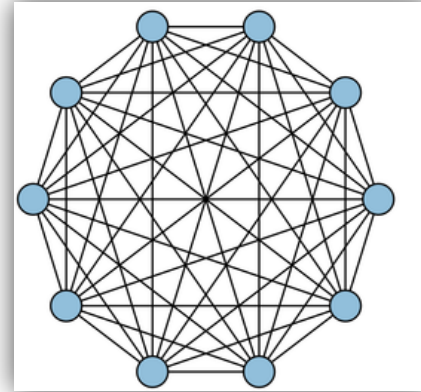
Черные связи соответствуют соединениям между кубитами, представляющими различные логические переменные.



Типы сетевых архитектур рассмотренных в работе

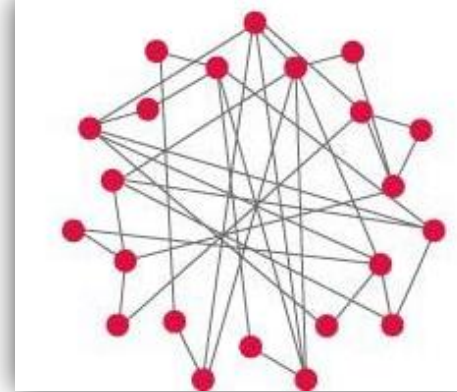


В случае непрерывного спектра
 $N \gg 1$
 $p(k)$ – распределение степеней
 вершин графа



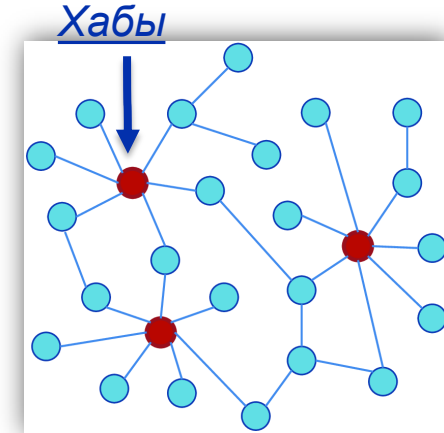
Регулярная сеть

$$p(k) = \delta(k - k_0)$$



Случайная сеть

$$p(k) = \frac{\langle k \rangle^k e^{-\langle k \rangle}}{k!}$$



Безмасштабная сеть

$$p(k) = \frac{(\gamma-1)k_{min}^{\gamma-1}}{k^\gamma}$$

Свойства сетевых архитектур

$$\langle k^m \rangle = \int_{k_{min}}^{k_{max}} k^m p(k) dk$$

m -ый момент распределения степеней
 вершин графа

$$\zeta = \frac{\langle k^2 \rangle}{\langle k \rangle}$$

ζ – параметр, определяющий
 статистику степеней вершин

Модель Дике-Изинга как альтернатива решетке

Модель Изинга

Модель Дике

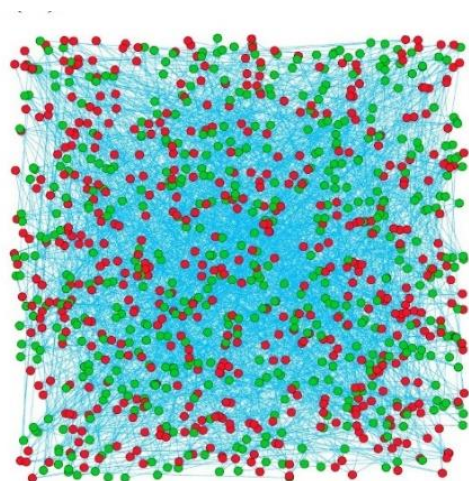
$$H = - \sum_{ij} J_{ij} \sigma_i^z \sigma_j^z - \frac{1}{2} \sum_i h_i \sigma_i^z + \omega_a a^\dagger a - \frac{1}{2\sqrt{N}} \sum_i \chi_i \sigma_i^x (a^\dagger + a)$$



$$J_{ij} = J p_{ij} = J \frac{k_i k_j}{N \langle k \rangle}$$

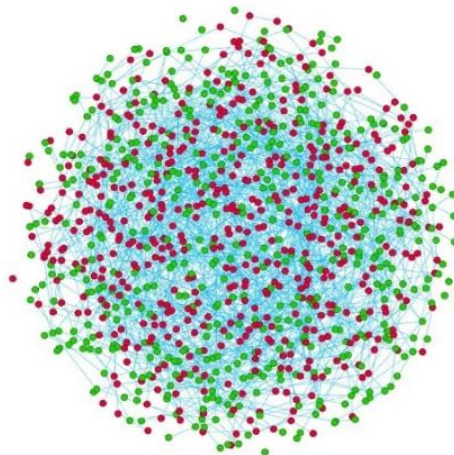
k_i - степень узла (количество ребер)
 N - количество узлов (ДКС)
 $\langle k \rangle$ - средняя степень вершин сети

σ_i^z (σ_i^x) – компоненты спина в $z(x)$ направлении;
 h_i - локальное магнитное поле;
 χ_i - константа связи x компоненты спина с квантовым полем;
 a^\dagger (a) – оператор рождения (уничтожения) квантового поля ω_a .



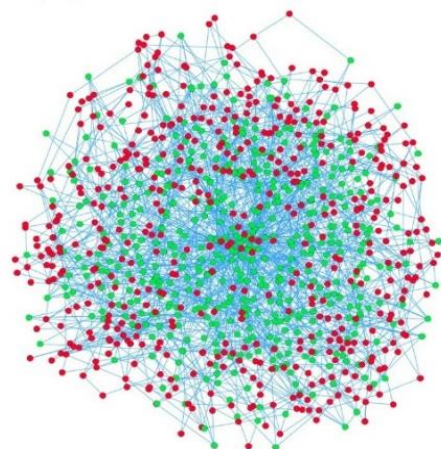
$$p(k) = \delta(k - k_0)$$

Регулярная сеть



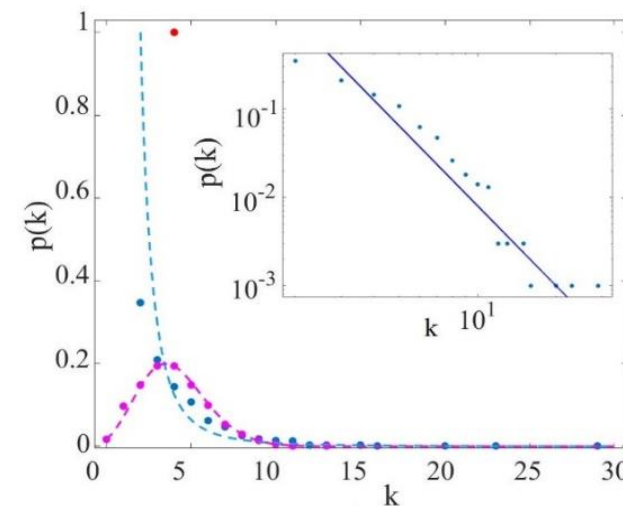
$$p(k) = \frac{\langle k \rangle^k e^{-\langle k \rangle}}{k!}$$

Случайная сеть



$$p(k) = \frac{(\gamma-1) k_{min}^{\gamma-1}}{k^\gamma}$$

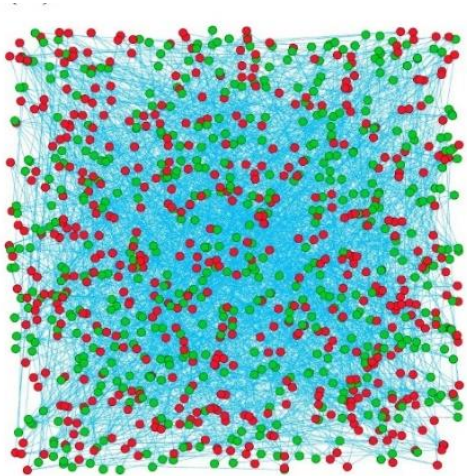
Сложная сеть со степенным распределением узлов



Распределение степеней узлов

Сетевая специфика модели Дике-Изинга

Регулярная сеть

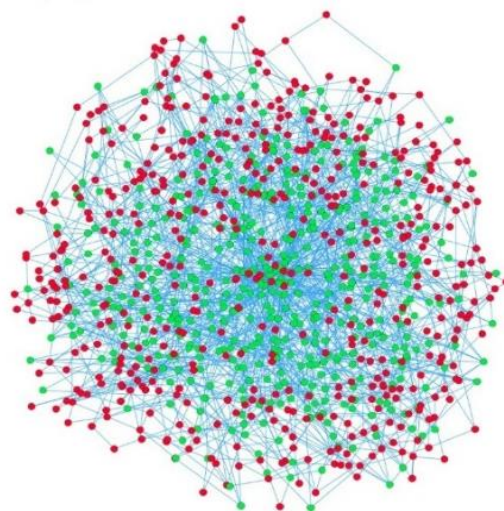


$$\langle k \rangle = N - 1$$

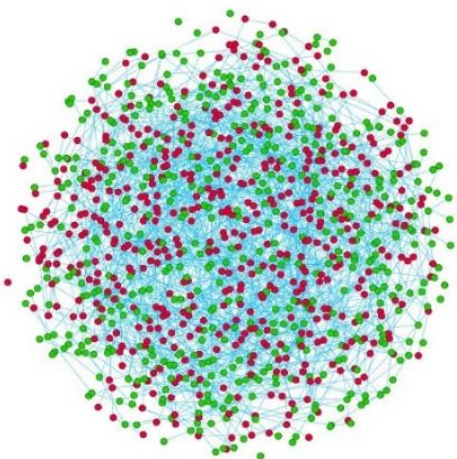
$$p(k) = \delta(k - k_0)$$

Сложная сеть со степенным распределением узлов

$$p(k) = \frac{(\gamma - 1)k_{min}^{\gamma-1}}{k^\gamma}$$

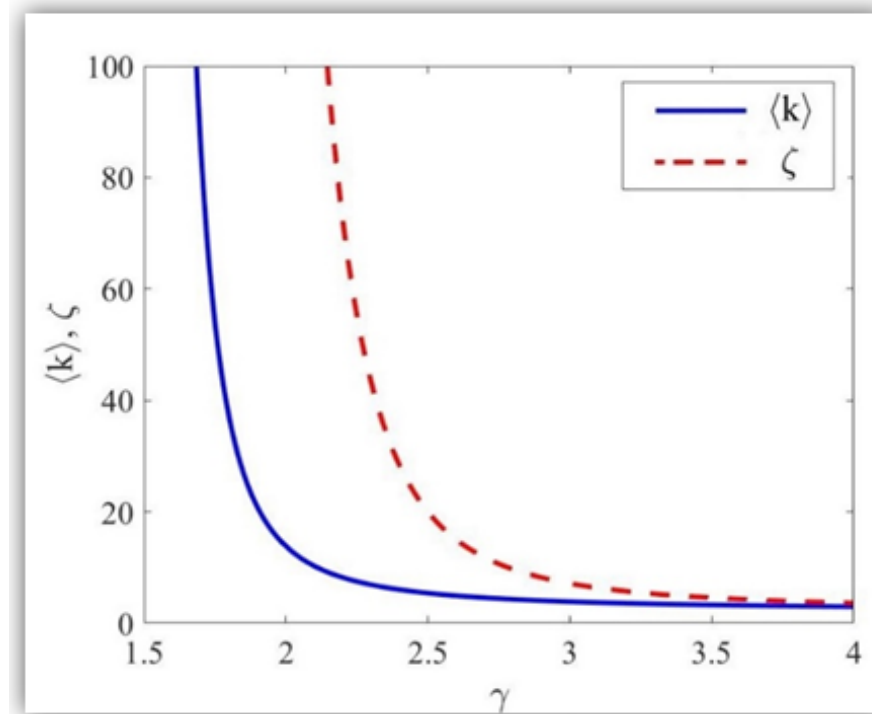


Случайная сеть



$$\zeta = 1 + \langle k \rangle$$

$$p(k) = \frac{\langle k \rangle^k e^{-\langle k \rangle}}{k!}$$



Аномальный режим



Большое количество хабов

Безмасштабный режим

Случайный режим



Свойства неразличимы с случайной сетью

- Используется базис когерентных состояний для лазерного поперечного поля;
- используется приближение среднего поля;
- используется термодинамический подход $Z(N, T) = Tr(e^{-\beta H})$

Система уравнений на параметры порядка

$$S_z = \int_{k_{min}}^{k_{max}} \frac{k}{\langle k \rangle} (\Theta S_z k + H) \tanh\left(\frac{\beta}{2} \sqrt{(\Theta S_z k + H)^2 + 4\lambda^2}\right) \frac{1}{\sqrt{(\Theta S_z k + H)^2 + 4\lambda^2}} p(k) dk$$

$$S_z = \frac{1}{N\langle k \rangle} \sum_i k_i \sigma_i^z$$

$$\Omega_a = \int_{k_{min}}^{k_{max}} \tanh\left(\frac{\beta}{2} \sqrt{(\Theta S_z k + H)^2 + 4\lambda^2}\right) \frac{1}{\sqrt{(\Theta S_z k + H)^2 + 4\lambda^2}} p(k) dk$$

$$\lambda = \frac{|\alpha|}{\sqrt{N}}$$

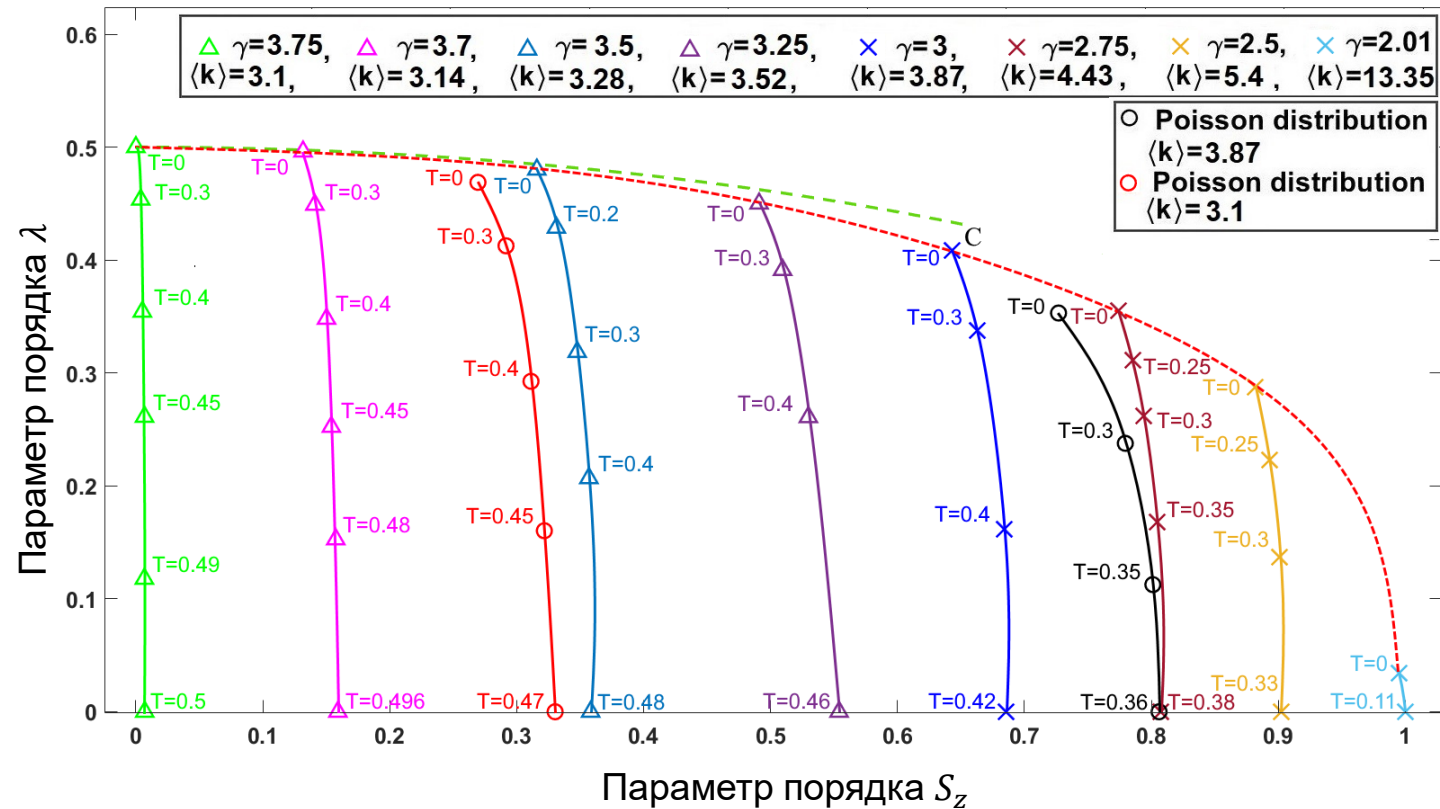
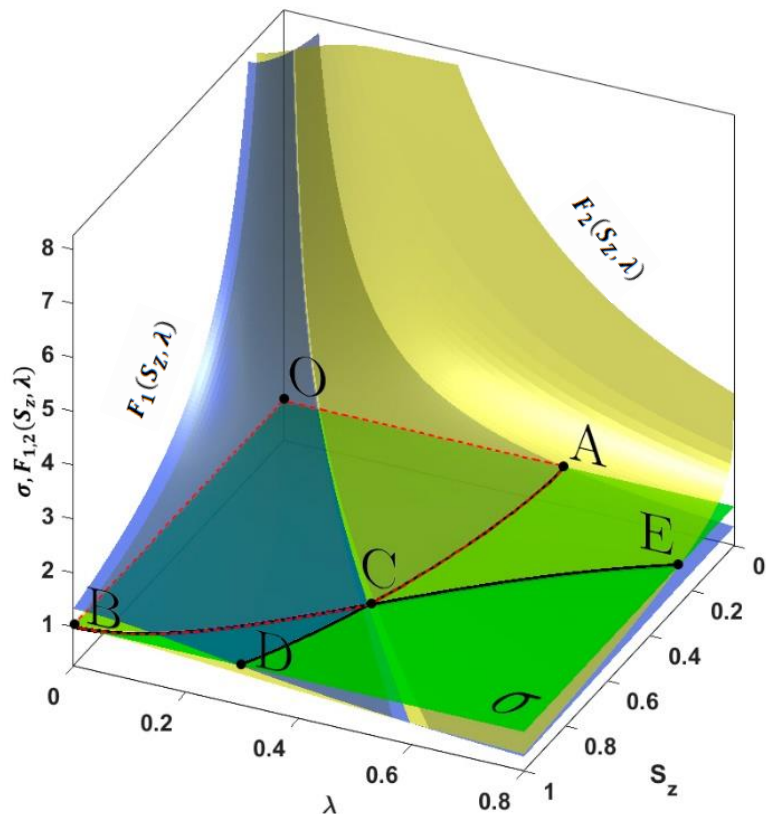
Нормированная средняя амплитуда поперечного поля

Нормировка параметров

$$\Theta = \frac{4J}{\chi}, H = \frac{h}{\chi}, \Omega_a = \frac{\omega_a}{\chi}, \beta\chi \rightarrow \beta$$

Коллективный топологически взвешенный спин

Как статистические свойства сети влияют на фазовые переходы?



$S_z \rightarrow 0$

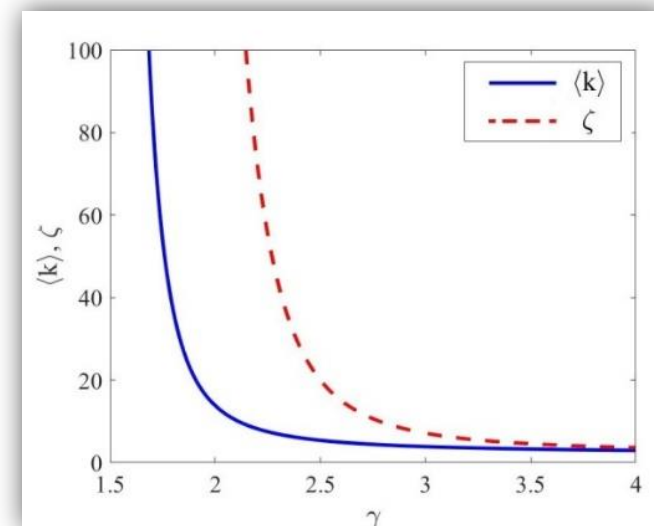
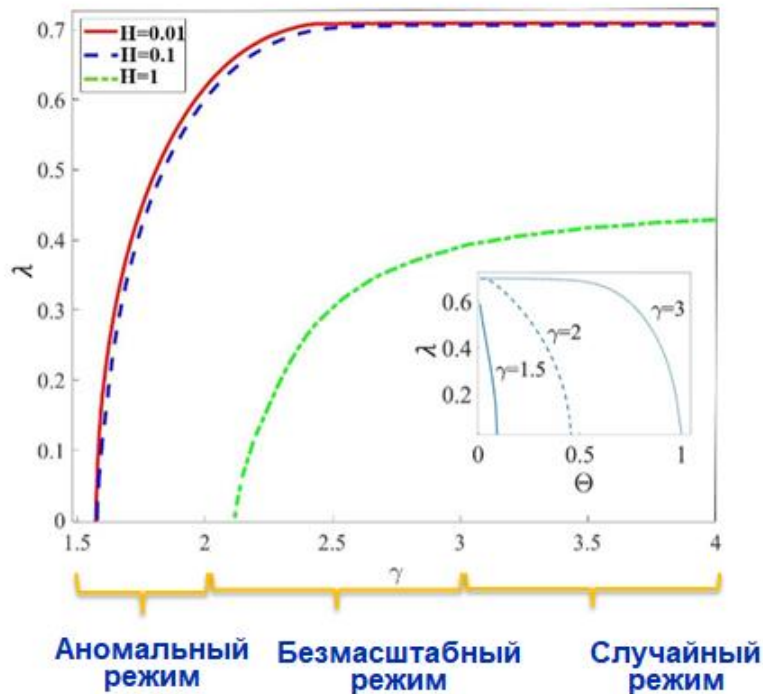
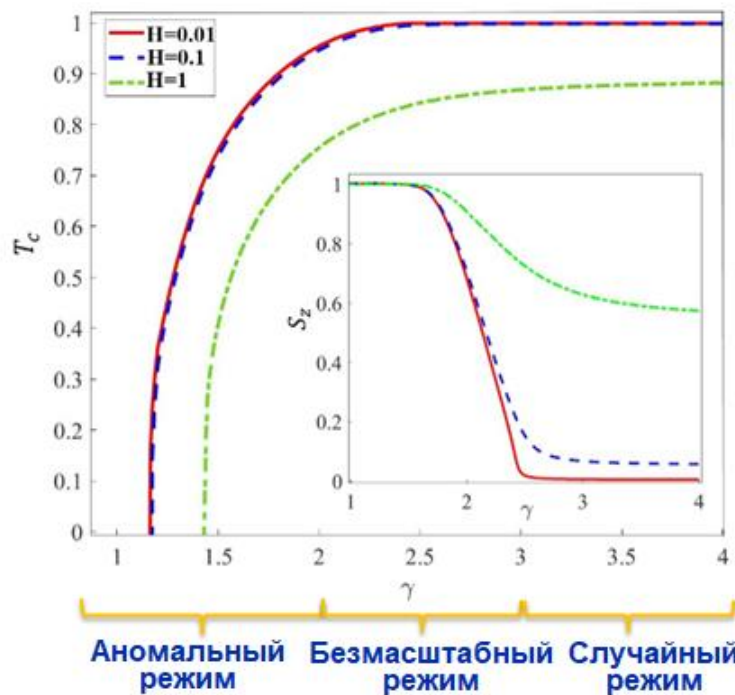
ФМ-ПМ фазовый переход

$$T_c = \frac{\lambda_c}{\tanh^{-1}\left(\frac{2\lambda_c}{\Theta\zeta}\right)}$$

$$F_1(S_z, \lambda) = \int_{k_{min}}^{k_{max}} \frac{\theta k^2}{\langle k \rangle \sqrt{(\theta k S_z)^2 + 4\lambda^2}} \tanh\left(\frac{\beta}{2} \sqrt{(\theta k S_z)^2 + 4\lambda^2}\right) p(k) dk = 1$$

$$F_2(S_z, \lambda) = \frac{1}{\Omega_a} \int_{k_{min}}^{k_{max}} \frac{1}{\sqrt{(\theta k S_z)^2 + 4\lambda^2}} \tanh\left(\frac{\beta}{2} \sqrt{(\theta k S_z)^2 + 4\lambda^2}\right) p(k) dk = 1$$

Фазовые переходы в сложных сетях



$$p(k) \propto \frac{1}{k^\gamma}$$

Критическое значение числа узлов (спинов)

ФМ-ПМ фазовый переход с сверхизлучением

Эффективное поле:

γ	N_c
$\gamma > 1, \quad \gamma \neq 2, \quad \gamma \neq 3$	$N_c = \left(\frac{2\langle k \rangle}{\Theta k_{\min}^2} \frac{3-\gamma}{\gamma-1} T_c + 1 \right)^{\frac{\gamma-1}{3-\gamma}}$
$\gamma = 2$	$\frac{2\langle k \rangle}{\Theta k_{\min}^2} T_c$
$\gamma = 3$	$\frac{8T_c}{e^{\Theta\langle k \rangle}}$

$$S_z \rightarrow 0, \lambda \rightarrow 0$$

$$T_c = \frac{\Theta \zeta}{2}$$

$$H_{eff} = 2J\langle k \rangle S_z + h$$

Θ — константа спин — спинового взаимодействия

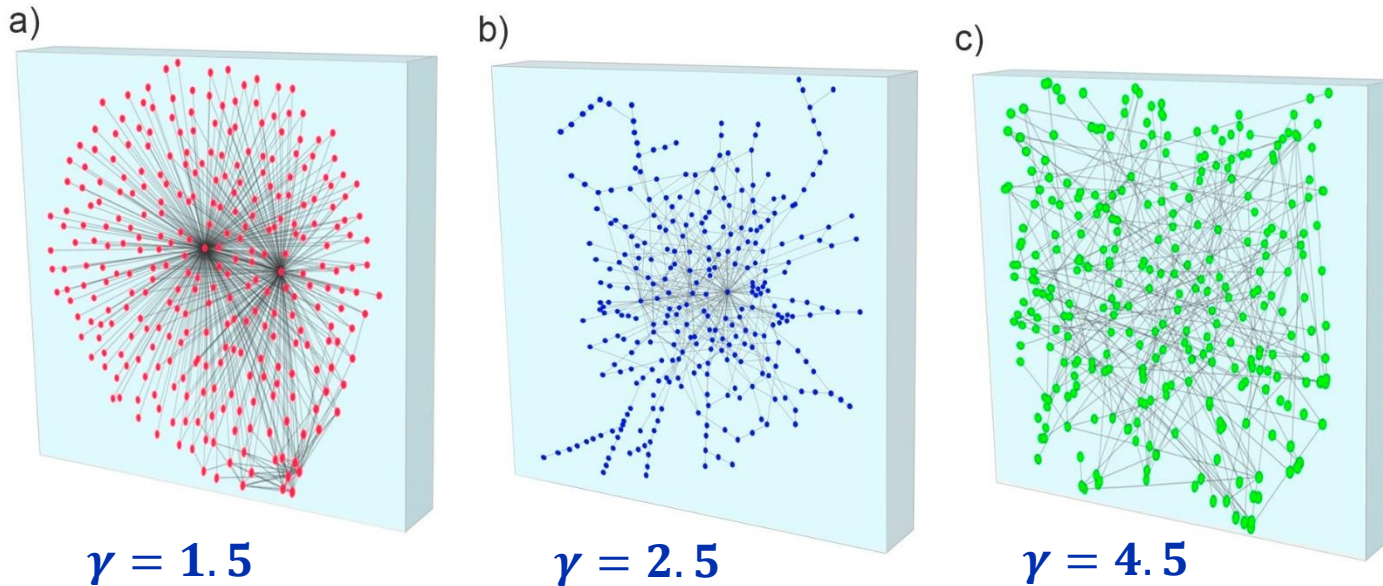
$$H = \underbrace{\frac{1}{2} \sum_{i=1}^N \omega_{0,i} \sigma_i^z}_{\text{ДКС}} + \underbrace{\omega_{ph} \frac{1}{N} \sum_{i=1}^N \sum_{v=1}^{k_i} a_v^+ a_v}_{\text{Распределенный (по сети) набор фотонных мод}} + \underbrace{\frac{g}{\sqrt{N}} \sum_{i=1}^N \sum_{v=1}^{k_i} (a_v \sigma_i^+ + a_v^+ \sigma_i^-)}_{\text{Взаимодействие ДКС с фотонной модой}}$$

$\omega_{0,i}$ - резонансная частота перехода ДКС;

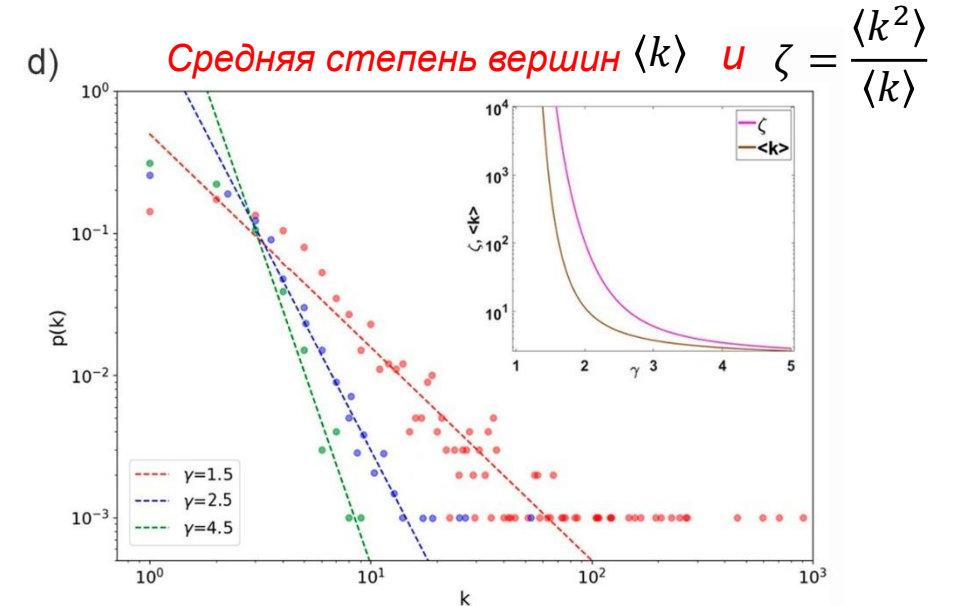
a_v^+ (a_v) – оператор рождения (уничтожения) v фотонной моды с частотой ω_{ph}

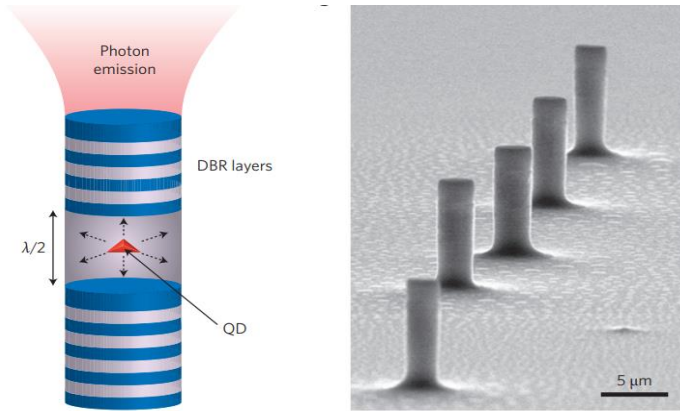
Модели двумерных структур с сетевым интерфейсом

$$p(k) \propto \frac{1}{k^\gamma}$$



Распределение степени связанности в логарифмическом масштабе





Лазер на основе квантовой точки (QD) в микростолбике (micropillar) (слева) [W. W. Chow et al., *InGaAs quantum-dot micropillar emitters: From spontaneous emission and superradiance to lasing*, 2017 19th International Conference on Transparent Optical Networks (ICTON), 2017, pp. 1-4]

Массивы микростолбиков (справа) [A. Dousse, et al, *Scalable implementation of strongly coupled cavity-quantum dot devices* Appl. Phys. Lett. 94, 121102 (2009)].

Технологии создания массивов атомов

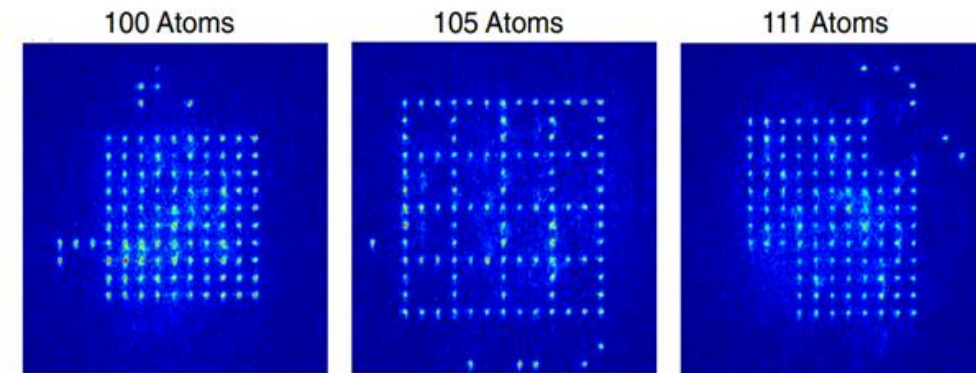
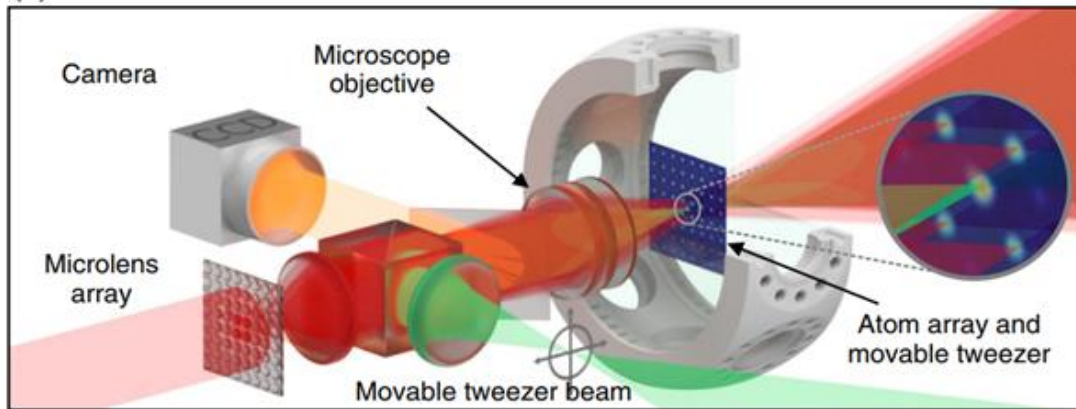


Схема эксперимента, включающая оптическую систему микро-ловушек, а также сопряженную с ней ловушку с ультрахолодными атомами, и образцы массивов удерживаемых атомов

D. Ohi de Mello, et al, Defect-Free Assembly of 2D Clusters of More Than 100 Single-Atom Quantum Systems, Phys. Rev. Lett. 122, 203601 (2019).

Плотность возбуждения ДКС

Химический потенциал

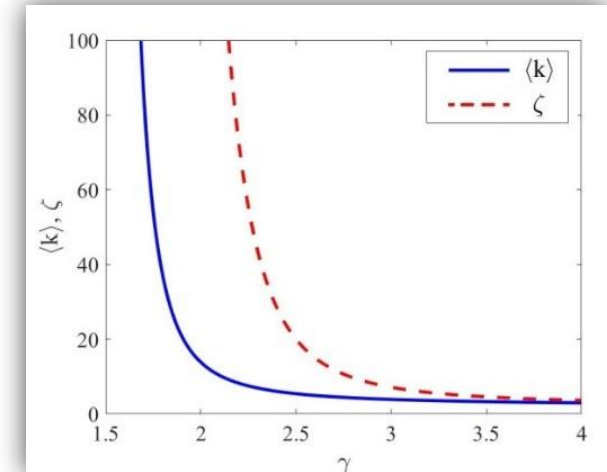
$$\rho = \frac{\langle k \rangle}{N} \Lambda^2 - \frac{1}{2} \int_{k_{min}}^{k_{max}} \frac{(\omega_0 - \mu) \tanh\left(\frac{\beta}{2} \sqrt{(\omega_0 - \mu)^2 + 4 \frac{k^2 \Lambda^2}{N}}\right)}{\sqrt{(\omega_0 - \mu)^2 + 4 \frac{k^2 \Lambda^2}{N}}} p(k) dk$$

$$(\omega_0 + \Delta - \mu) \Lambda = \frac{\Lambda}{\langle k \rangle} \int_{k_{min}}^{k_{max}} \frac{k^2 \tanh\left(\frac{\beta}{2} \sqrt{(\omega_0 - \mu)^2 + 4 \frac{k^2 \Lambda^2}{N}}\right)}{\sqrt{(\omega_0 - \mu)^2 + 4 \frac{k^2 \Lambda^2}{N}}} p(k) dk$$

Частотная отстройка

$$\Delta = \omega_{ph} - \omega_0$$

Амплитуда СИ поля



$$p(k) \propto \frac{1}{k^\gamma}$$

Фазовый переход к сверхизлучению

Поляритонные ветви

$$\mu_{1,2} = \mu_0 \pm \frac{1}{2} \sqrt{\Delta^2 - 8g^2 \langle \zeta \rangle \left(\rho - \frac{\langle k \rangle}{N} \Lambda^2 \right)}$$

$$\mu_0 \equiv (\omega_{ph} + \omega_0)/2$$

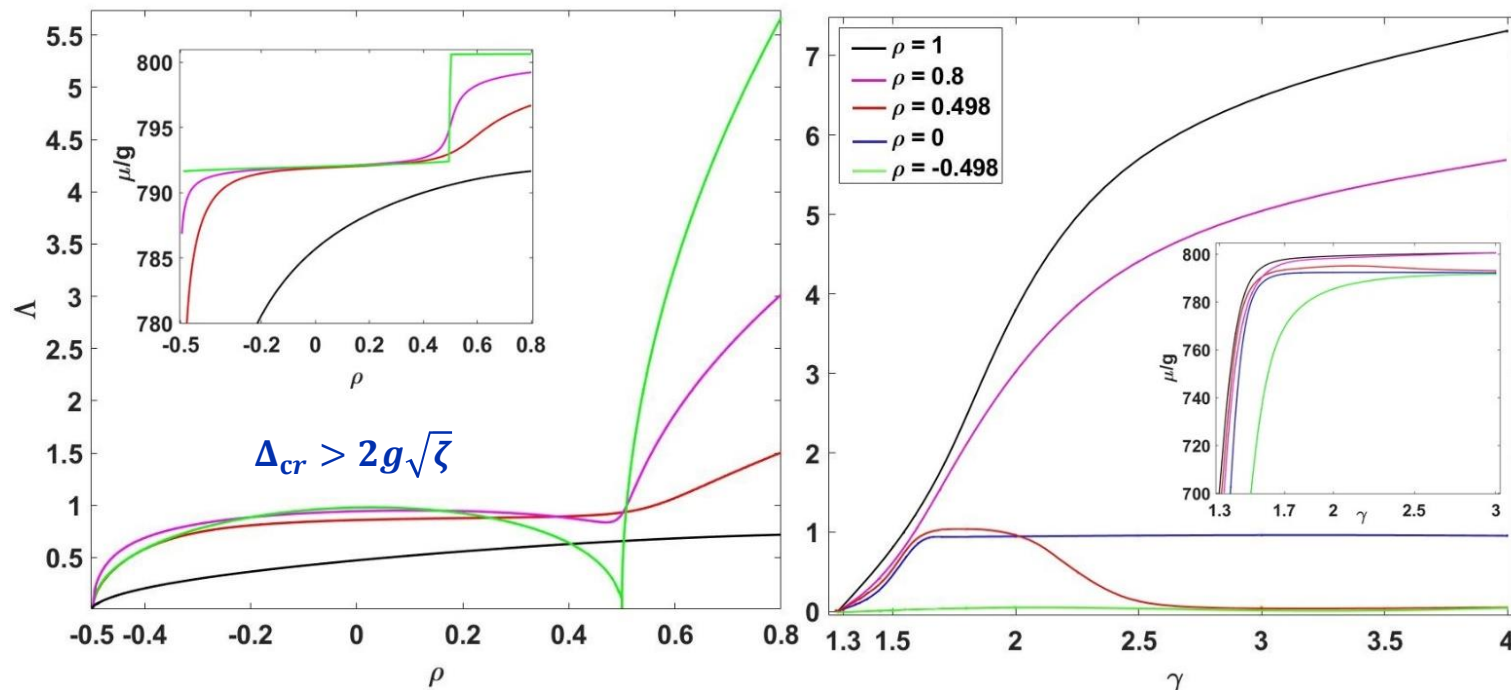
Критическая температура СИ фазового перехода

$$T_c = \frac{\Delta \pm \sqrt{\Delta^2 - 8\zeta\rho}}{4 \tanh^{-1}(2\rho)}$$

Условие сильной и сверхсильной связи

$$\underbrace{\Gamma, \kappa}_{\text{Потери фотонов и скорость дефазировки}} \ll g\sqrt{\zeta} \lesssim \omega_{ph}$$

Потери фотонов и скорость дефазировки



Зависимость параметра порядка Δ и нормированного химического потенциала μ/g (вставка) от (а) плотности возбуждения ρ при $\gamma = 1.5$ (черный), $\gamma = 1.7$ (красный), $\gamma = 2$ (фиолетовый), $\gamma = 4$ (зеленые) кривые соответственно и (б) показателя степени γ для сети из $N = 300$. Остальные параметры: $\Delta/g = 9$, $\omega_0/g = 792$, $k_{min} = 2$, $g \equiv g_0\sqrt{N} \approx 1836$ мкэВ.

Вывод: Усиление коллективного взаимодействия ДКС с квантовым полем в $\sqrt{\zeta}$ раз! При $\gamma \rightarrow 1$, $\langle \zeta \rangle \rightarrow \infty$

Неравновесный фазовый переход к лазерной генерации в системе микрорезонаторов

Формализм Гейзенберга-Ланжевена:

$$\dot{E}(t) = (-i\omega - \kappa)E(t) - ig \sum_{j=1}^N p_j(t)$$

$$\dot{p}_j(t) = (-i\omega_j - \Gamma_j)p_j(t) + igk_j E(t)\sigma_j^z(t)$$

$$\dot{\sigma}_j^z(t) = \frac{1}{\tau_j} (\sigma_{j,0}^z(t) - \sigma_j^z(t)) + 2igk_j (p_j(t)|E(t)|^* - \text{Э.С.})$$

$E(t) = \langle \hat{f}_v \rangle$ - фотонное поле на частоте лазерной генерации

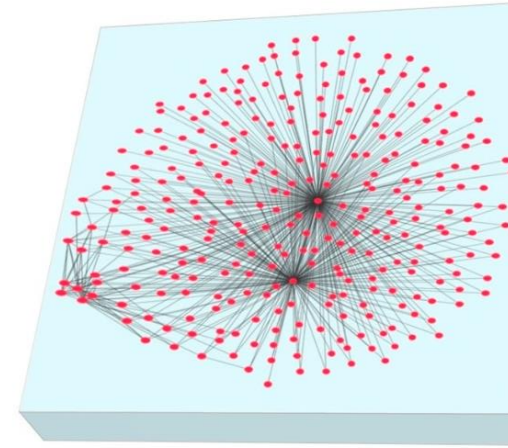
$p_j(t) = \langle \hat{a}_j^\dagger \hat{b}_j \rangle$ - поляризация ДКС

$\sigma_j^z(t) = \langle \hat{b}_j^\dagger \hat{b}_j - \hat{a}_j^\dagger \hat{a}_j \rangle$ - инверсия населенности ДКС

τ_j – характерное время спонтанной эмиссии;

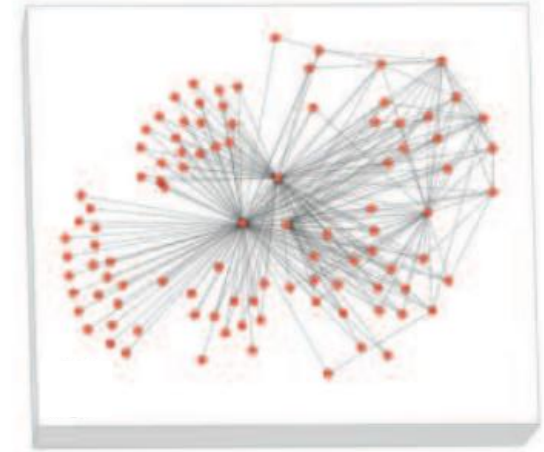
Γ_j – скорость дефазировки;

κ – потери фотонов с резонатора.



$\gamma = 1.5,$

$N = 300$



$N = 100$

Порог лазерной генерации

$$\sigma_{z,thr} = \frac{\kappa\Gamma}{\left(g\sqrt{\langle k \rangle}\right)^2}$$



Беспороговый лазер в пределе

$\langle k \rangle \rightarrow \infty (\gamma \rightarrow 1)$

Предложена модель Дике-Изинга со спин-спиновым взаимодействием в сложной сети, демонстрирующая (высокотемпературный) ФП переход к СИ, который возможен только на границе аномального режима, когда эффективное локальное поле ослабевает.

Предложена новая концепция неупорядоченных двумерных массивов микрорезонаторов с их расположением в узлах сети со степенным распределением степени узлов $p(k) \sim k^{-\gamma}$, демонстрирующая сверхсильный режим взаимодействия двухуровневых квантовых систем и коллективной фотонной моды.

Впервые показано, что в системе двумерных массивов микрорезонаторов расположенных в узлах сети со степенным распределением степени узлов может быть достигнута лазерная генерация при исчезающе малой разности инверсии населенности. При этом коэффициент усиления лазерного излучения пропорционален средней степени узлов $\langle k \rangle$, что обеспечивает гигантское усиление при $\langle k \rangle \gg 1$ для аномальной области $1 < \gamma < 2$.

Публикации

Bazhenov A. Y., Tsarev D. V., Alodjants A. P. *Mean-field theory of superradiant phase transition in complex networks*, *Physical Review E*, **103**, №. 6, p. 062309 (2021).

Баженов А.Ю., Никитина М. М., Алоджанц А. П. *Сверхизлучательный фазовый переход в микроструктурах с комплексной сетевой архитектурой*. Письма в ЖЭТФ, Т. **115** (11), С. 685. (2022).

Bazhenov A. Y., Nikitina M., Alodjants A. P. *High temperature superradiant phase transition in quantum structures with a complex network interface*, *Optics Letters*, **47**, №. 12. p. 3119 (2022).

Спасибо за внимание!